

## SPEKTRUM ŠIROKÝCH SPRŠOK KOZMICKÉHO ŽIARENIA NA ÚROVNI HÔR

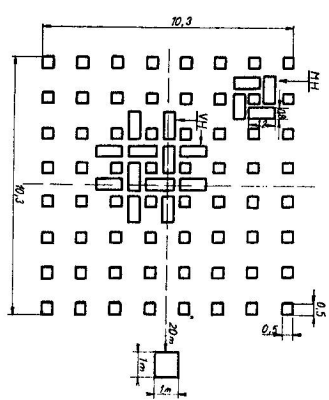
TEODOR HLAVÁČ, Bratislava

Na stanici kozmického žiarenia v Ťan-Šane, 3340 m n. m. sme pomocou velkoplošných scintilátorov merali spektrum širokých atmosférických spršok kozmického žiarenia. V oblasti malých spršok ( $N = 10^3 - 10^4$ ) sme v príbehu spektra namerali niemý sklon blízky ku  $\gamma = 1,2$ , v oblasti  $N > 10^4$  sme dostali hodnotu  $\gamma = 1,6$ .

V prvej etape prevádzky komplexnej aparátury Akadémie vied ZSSR na meranie spršok kozmického žiarenia v Ťan-Šane (3340 m) boli uskutočnené merania spektier spršok podľa počtu elektrónov.

### JEDNOTLIVÉ ČASŤI APARATÚRY A ICH GEOMETRIA (obr. 1)

1. Cestriálna „šachovnica“ 64 scintilátorov, každý o ploche  $50 \text{ cm} \times 50 \text{ cm}$ .
2. Medzi scintilátormi sú umiestnené dva hodoskopy, v jednom 144 GM-počítačov typu SI-5 G, v druhom 96 GM-počítačov MC-9.
3. V centre „šachovnice“ sú dva scintilátori s rozmermi  $1 \text{ m} \times 1 \text{ m}$ .
4. Na všetkých štyroch stranách od centra „šachovnice“ vo vzdialosti 20 m sú načiľajúce „štvrť“ dvojice scintilátorov tiež rozmerov  $1 \text{ m} \times 1 \text{ m}$ .



Obr. 1. Geometria aparátu. MH – malý hodoskop (96 GM-počítačov MC-9); VH – veľký hodoskop (144 GM-počítačov SI-5G); H70 – hodoskop vo vzd. 70 m od centra (120 GM-počítačov SI-5 G).

5. Vo vzdialosti 70 m od centra je 10 scintilátorov s celkovou plochou  $20 \text{ m}^2$ .  
 6. V tej istej vzdialosti 70 m je tiež hodoskop zo 120 GM-počítačov typu SI-5 G.

#### RIADIACE PULZY

Aparatúra sa spúšťala od dvoch druhov pulzov: pri prvom sa uskutočnila registrácia, keď sa sphíla podmienka vopred určeného minimálneho počtu častic v hubovolných scintilátoroch. Tento prah bol pri dvoch sériach meraný 10, resp. 100 častíc.

Pri ďalšom riadiacom impulze sa registrovali len centrálne spršky, ktorých os prechádzala centrálnou časťou — „šachovnicou“. Riadiaci blok výberal len také spršky, ktoré splňali kritérium  $1,5 \bar{\varrho}_c \geq \varrho_p$ .

$\varrho_p$  — hustota v 4 scintilátoroch vo vzdialosti 20 m od centra,

Toto kritérium sa zvolilo na základe výpočtov a preverilo experimentom. Vyberá spršky, ktorých os sa nachádza v kruhu so stredom v centre „šachovnice“ s polomerom približne 10 metrov.

#### SPÔSOB REGISTRÁCIE

Výška pulzu z fotonásobca, úmerná množstvu relativistických častic, ktoré presiaľ cez scintilátor, sa pretransformovala na číslo a zapísala na magne-

|        | 102 — 669 | 391,1    | 706,0 | 124,6 | 12,1 |     |           |       |
|--------|-----------|----------|-------|-------|------|-----|-----------|-------|
| 218    | 127       | 482      | 161   | 132   | 241  | 178 | 0         | — 220 |
| 0      | 264       | 348      | 275   | 505   | 0    | 161 | 178 — 288 |       |
| 302    | 486       | 0        | 656   | 383   | 294  | 218 | 218 — 365 |       |
| 241    | 801       | 1613     | 2178  | 1195  | 332  | 247 | 218 — 853 |       |
| 241    | 625       | 772      | 1783  | 0     | 725  | 397 | 167 — 673 |       |
| 247    | 325       | 279      | 325   | 456   | 299  | 178 | 0 — 301   |       |
| 197    | 178       | 0        | 439   | 180   | 147  | 0   | 161 — 217 |       |
| 108    | 133       | 131      | 119   | 178   | 97   | 163 | 178 — 138 |       |
| 222    | 367       | 604      | 742   | 433   | 305  | 220 | 187       |       |
| 29,9   |           |          |       |       |      |     |           |       |
| 40,4   | 16317,6   | 179871,8 | 27,1  |       |      |     |           |       |
| 27,1   |           |          |       |       |      |     |           |       |
| 2,2    | 1,0       | 0,0      | 3,6   | 0,0   | 1,5  | 1,8 | 0,0       | 1,8   |
| 124,65 |           |          |       |       |      |     |           |       |
| 108,78 |           |          |       |       |      |     |           |       |
| 1,87   |           |          |       |       |      |     |           |       |

Obr. 2. Ukážka záznamu o jednej sprške, prevedená počítačom NAIIRI. Čísla znamenajú počet častic na  $\text{m}^2$  v danom detektore. Nula znamená evidentne zlý, a preto automaticky vyniechaný detektor.

tickú pásku ako určitý počet rovnakých impulzov. Údaje z pásky sa voviedli do operatívnej pamäti počítača, ktorý po spracovaní nameraných hodnôt písal hustotu jednotlivých časti aparatury v geometrii (obr. 2).

#### KRITÉRIÁ PRECHODU OSI SPRŠKY DAŇOU PLOCHOU

Pre výpočet spektier sme z množstva spŕšok, zaregistrovaných podla prvého typu riadiacich impulzov vybrali tie, ktorých os prechádza vopred vyberanou plochou. V našom prípade sme vybrali štvorec, v ktorom sa nachádza 16 centrálnych scintilátorov „šachovnice“, celkové plochu  $22 \text{ m}^2$ . Výber musel splniť požiadavku: vypísať každú spŕšku, ktorej os prechádza danou plochou a zároveň prepustiť spŕšky s osou mimo tejto plochy. Za týmto účelom sme z magnetickej pásky vypísali niekoľko stoviek zaregistrovaných spŕšok ručne, čože bez pomocí počítača sme výhľadali také, ktorých os prechádza požadovanou plochou a potom hľadali kritéria, ktoré zabezpečujú výber všetkých spŕšok, prechádzajúcich danou plochou. Ukázalo sa, že táto požiadavka je splnená použitím dvoch jednoduchých kritérií:

$$1. \text{ kritérium: } \bar{\varrho}_{\text{sc}} > 1,1\bar{\varrho}_4,$$

kde  $\bar{\varrho}_{\text{sc}}$  je stredná hustota častic v 16 centrálnych scintilátoroch,  $\bar{\varrho}_4$  stredná hustota častic v celej „šachovnici“.

$$2. \text{ kritérium: } 1,5\bar{\varrho}_c > \sum \varrho_p,$$

kde  $\bar{\varrho}_c$  je stredná hustota v dvoch centrálnych scintilátoroch,  $\varrho_p$  je hustota štyroch periférnych scintilátorov (vo vzd. 20 m).

Objektívnosť výberu osi pomocou uvedených kritérií sme preverili tým, že sme z tej istej pásky vypísali všetky na nej zaznamenané spršky, spracovali ručne a výsledky porovnali s výberom, ktorý podľa uvedených kritérií urobil počítač. Ukázalo sa, že zo spŕšok vybraných počítačom, má 70 % os v danej ploche, čože v 16 centrálnych scintilátoroch alebo medzi nimi, 28 % má os mimo 16 centrálnych, ale v oblasti „šachovnice“ a len 2 % mimo „šachovnicu“. Za os spršky považujeme priesecník osi kriviek, ktoré opisujú strednú hustotu 8 scintilátorov jednotlivých „radov“ a „stĺpcov“.

Pri malých spŕškach (do  $N < 5 \cdot 10^3$ ) nie je lokalizácia osi taká jednoznačná, fluktuácie hrajú rolu podstatne väčšiu a presnosť je až o 15 % nižšia. V týchto prípadoch výber podstatnejšie ovplyvňuje aj efekty apparáturného charakteru. Analýza niekoľkých stoviek spŕšok ukázala, že pri spŕškach  $N < 5 \times 10^3$  počítač eliminuje okolo 15 % centrálnych spŕšok, pretože nesplňajú požadované kritériá.

#### VÝSLEDKY

V prevej etape merania sme výhodnotili 622 spŕšok, ktorých os prechádzala štvorcem, v ktorom sa nachádza 16 centrálnych scintilátorov. Starana štvorca

je 4,7 m. Urobené merania dávajú spektrum, ktorého príbeh vidieť z výslednej tabuľky 1 a z grafu na obr. 3.

Tabuľka 1

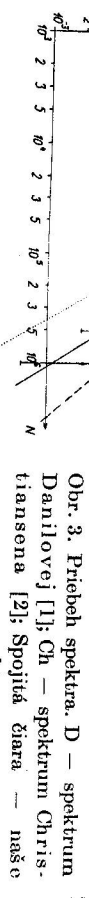
$$F(>N) = C \cdot N^{-\gamma}$$

| $N$     | $2 \cdot 10^3$ | $3 \cdot 10^3$ | $5 \cdot 10^3$ | $10^4$ | $3 \cdot 10^4$ | $5 \cdot 10^4$ | $10^5$            | $3 \cdot 10^5$    | $5 \cdot 10^5$    | $10^6$            |
|---------|----------------|----------------|----------------|--------|----------------|----------------|-------------------|-------------------|-------------------|-------------------|
| $F(>N)$ | 6,0            | 4,5            | 2,58           | 1,14   | 0,235          | 0,143          | 4,4 \cdot 10^{-2} | 8,2 \cdot 10^{-3} | 4,1 \cdot 10^{-3} | 2,1 \cdot 10^{-3} |

$N$  — zadaný počet elektrónov,  
 $F(>N)$  — intenzita spŕšok s počtom elektrónov vyššie zadaného (nod<sup>-1</sup> m<sup>-2</sup> sterad<sup>-1</sup>).

Na grafu obr. 3 je spojito čiarou vynesené naše spektrum, prerušovanou čiarou je pre porovnanie vyznačené spektrum, ktoré uvádzajú Danilova aia.

[1] pre tú istú nadmorskú výšku, bodkovane je vynesené spektrum Christiansena [2], pravda, pre úroveň mora. Z grafu vidieť, že na mi ziskané spektrum má v oblasti väčších spŕšok ( $N > 10^4$ ) sklon totožný so spektrom Christiansena ( $\gamma = 1,6$ ), v oblasti  $N < 10^4$  sa blíži k spektru Danilovej ( $\gamma = 1,2$ ). Táto skutočnosť svedčí o tom, že v okolí bodu  $N = 10^4$  sa nachádza ohyb, pre ktorý niet zatiaľ postačujúce teoretické vysvetlenie. V druhej etape merania chceme tejto oblasti venovať osobitnú pozornosť.



Obr. 3. Pribeh spektra. D — spektrum Danilovej [1]; Ch — spektrum Christiansena [2]; Spojitá čiara — naše spektrum.

#### LITERATÚRA

- [1] Danilova T. V. a ī., J. Phys. Soc. Japan 17, Suppl. 13 (1962), 205.
- [2] Christiansen G. B., *Dizertačia*, MGU, Moskva 1964.

Došlo 19. 5. 1969